JILONG

KL-760

中干线光纤熔接机

四马达　电容触摸屏　纤芯可视



电容
触摸屏

实用
多面手

免工具
更换电极棒

6800mAh
锂电池

纤芯可见
纤芯对准

全自动
熔接加热

01 产品特性和功能

- 4.3英寸电容触摸屏
- 纤芯对准，纤芯可见
- 全自动熔接 & 全自动加热
- 抗震、防摔、防雨设计
- 3年质保
- 四马达 中干线熔接机
- 电极寿命约5000次 (可更换)
- 创新性免工具更换电极棒
- 6800毫安时锂电池，每次充电约

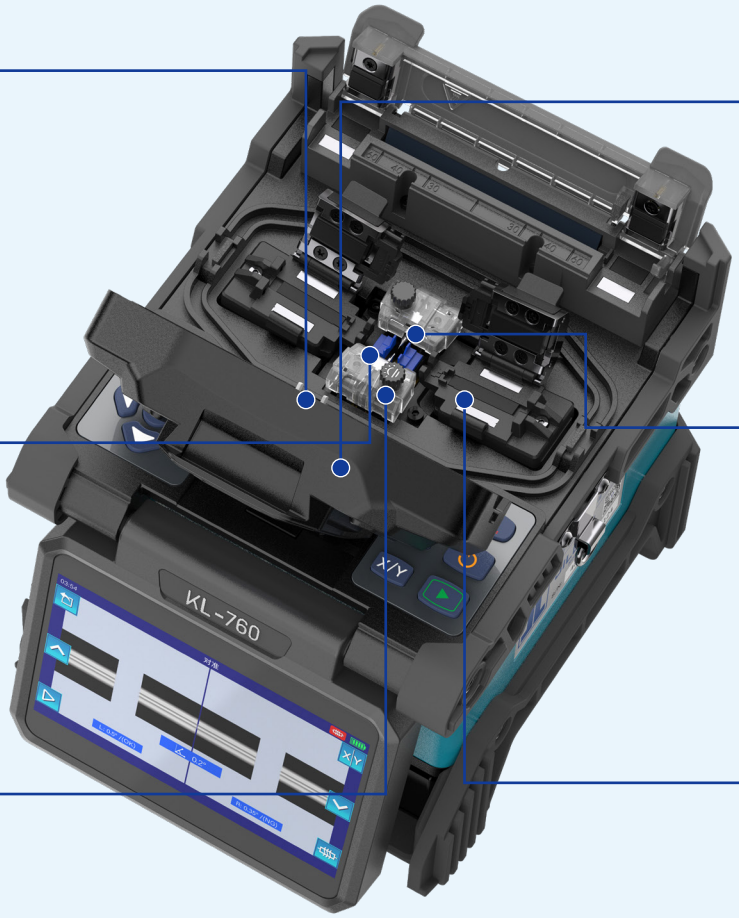
  支持300次熔接+加热循环

02 4.3英寸电容触摸屏

全新升级触摸屏，操作简便，更人性化的UI界面



03 特征描述

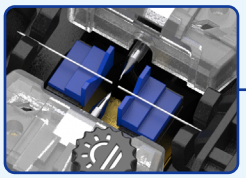




陶瓷光纤压锤
经久耐用



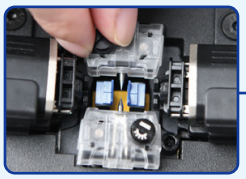
无反光镜设计反
应更快，便于维护



特殊
V槽设计



熔接时间8s
加热时间18s



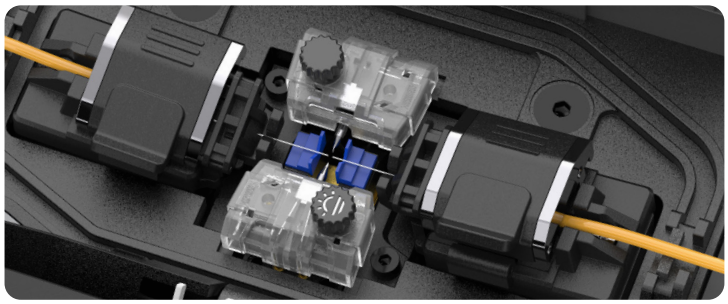
免工具更换电极
轻拧即可更换电极

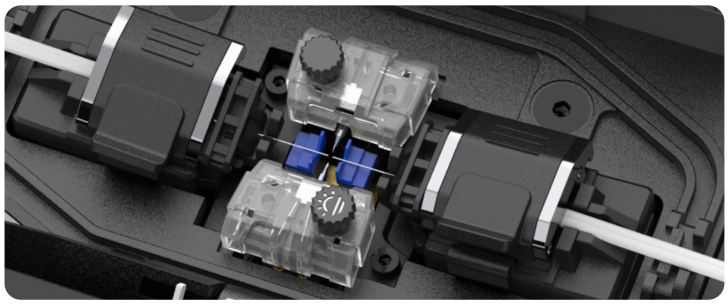


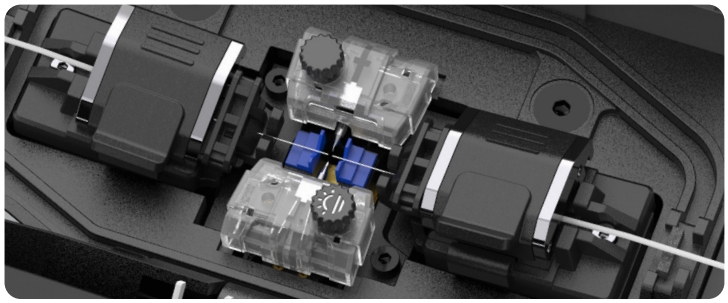
专用
三合一夹具

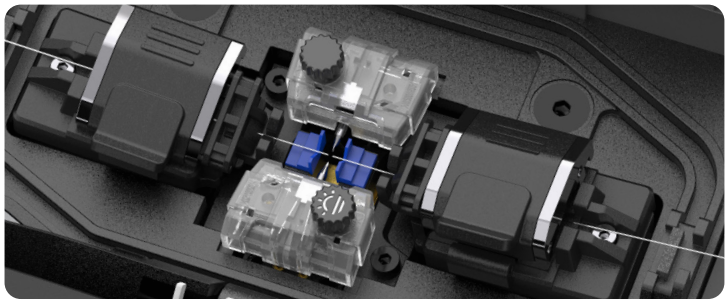
04 三合一通用夹具

夹具适合裸纤、3.0mm跳线、尾纤、皮线光缆







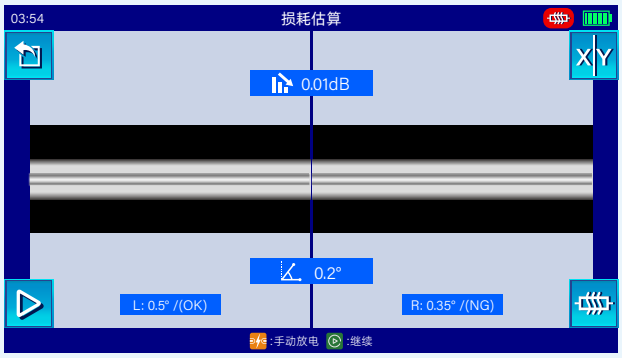


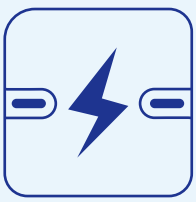
05 双层冷却槽



06 纤芯对准

纤芯对准 一目了然





8S
快速熔接

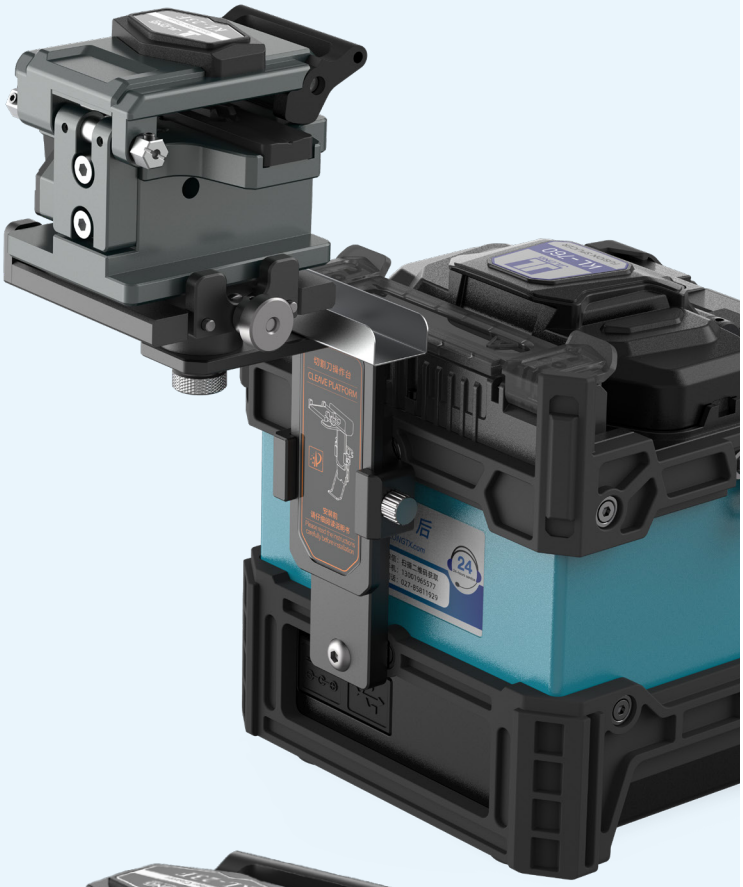


18S
快速加热



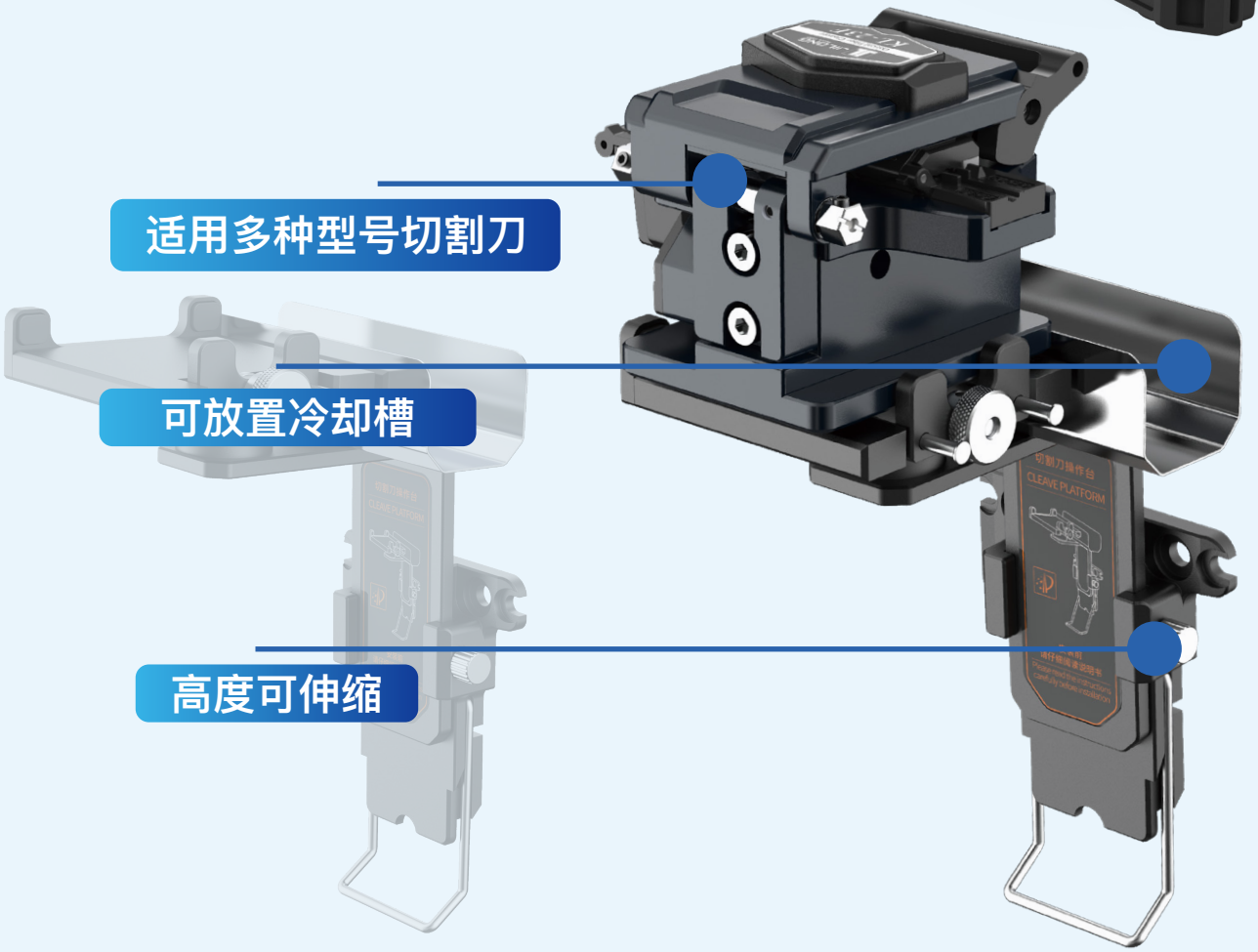
07 切割刀操作台

丰富拓展性
独特切割刀操作台设计

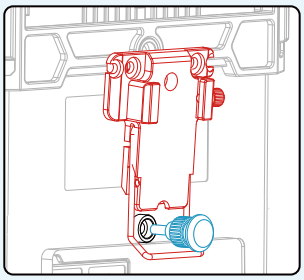


支持放置切割刀操作台;
光纤切割，熔接一步到位

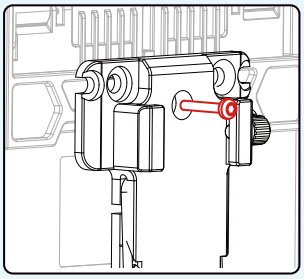
支架发明专利申请号 202210544729.X
实用新型专利号202221202906.8



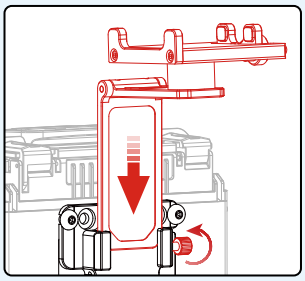
光纤操作台安装说明



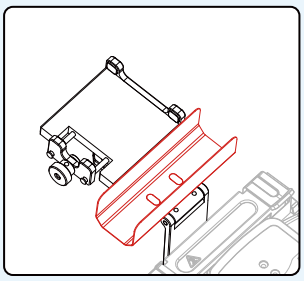
首先将卡钉固定在熔接机背后，再将底座垂直向下卡入卡钉;



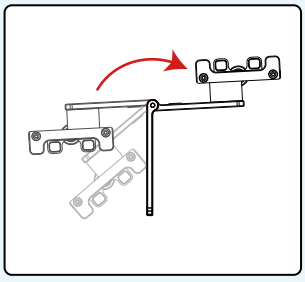
最后，将螺钉插入底座上部中间孔位拧紧，底座安装完成;



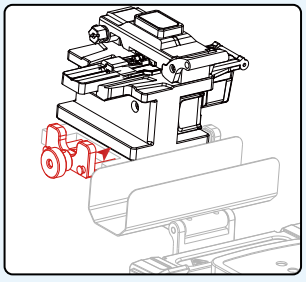
把支撑架插入固定底座相应的插口处，调整至合适的高度后，拧紧手拧螺钉;



将冷却托盘放置在支撑架的相应位置使其孔位与支撑板上的凸台相对应;



将支撑架上的操作台顺时针旋转至近水平面



在操作台上放置切割刀后，调整螺杆的进深，使其橡胶垫与切割刀完全贴合;

安装完成效果



08 6800mAh锂电池



6800mAh
电池容量



300次
熔接+加热



09 细节入微 匠心品质

适应多种环境，防摔、防水、防尘



防水机身

注：每小时降雨量小于0.5毫米



防震抗摔



耐脏防尘

10 产品展示







11 产品配置



熔接机主机(1台)



光纤切割刀(1台)



电源线(1个)



锂电池 6800mAh(2个)



皮线开剥器(1个)



光纤剥线钳(1个)



冷却槽(1个)



支架(1台)



酒精瓶(1个)



热缩管(1个)



光纤清洁纸(1盒)



备用电极(2对)



携带箱(1个)

12 产品规格

调芯方式	纤芯对准
适用光纤类型	SM(ITU-T G.652&G.657) / MM(ITU-T G.651) / DS(ITU-T G.653) / NZD
光纤种类	0.25~3.0 mm/皮线光缆
光纤夹具	可替换通用夹具
光纤直径	包层直径: 80-150um，涂覆层直径:100~1000um
切割长度	8~16 mm
熔接模式	最大128组
熔接损耗	SM: 0.02dB / MM: 0.01dB / DS: 0.04dB / NZDS: 0.04dB / G.657: 0.
回波损耗	>>60dB
熔接时间	8秒(SM G652 Quick模式)
损耗估算	支持
加热时间	18秒（SM G652 250μm 40mm热缩管 快速情况下）用户可调整
适用热缩长度	20mm,30mm,40mm,50mm,60mm
加热模式	最大 32 组
电池容量	6800毫安时锂电池，每次充电支持约300次熔接+加热 ★②
电极寿命	约5000次放电 ★③
自动开始	熔接/加热
自动放电校准	根据环境温度、气压变化自动校正
结果存储	10,000组熔接数据或 2,000组熔接图像
拉力测试	1.96~2.25N
操作条件	海拔：0~5,000米，相对湿度：0~95%，-20~50°C，最大风速：15米/秒
存储条件	相对湿度 0~95% , -20~60°C 温度
显示屏	4.3英寸电容触摸屏
放大与显示	X,Y,XY,X/Y:320倍放大
电源供电	输入:AC 100-240V/60Hz 2.0A 输出:DC14.0V=4.0A
端口	USB2.0
主机重量	1.6kg（无电池）/ 1.9kg（有电池）
主机尺寸	143H x 136W x 155D mm (包括硅胶保护套)

★① 使用标准光纤，根据ITU-T和IEC的标准截断方法进行测试所得结果，损耗会由于环境以及光纤的特性而发生改变。

★② 在室温环境下0.25mm光纤和40mm热缩管测量所得到的结果，在很大程度上受电池使用状态及操作环境的影响。

★③ 电极棒的寿命会由于环境，光纤类型以及熔接模式而发生改变。